



IX International Macromolecular
Colloquium



6º CONGRESSO BRASILEIRO DE POLÍMEROS

IX INTERNATIONAL MACROMOLECULAR COLLOQUIUM

11 a 15 de novembro de 2001
Centro de Convenções do Hotel Serrano
Gramado/RS

Promoção:



Associação Brasileira de Polímeros

Instituto de Química da Universidade
Federal do Rio Grande do Sul (IQ/UFRGS)

ESTUDO DA MICROESTRUTURA DE TERPOLÍMEROS DE ETILENO, PROPILENO E 1-DECENO POR ^{13}C -NMR



Márcio Ferreira, Fernanda Nunes Escher, Griselda Barrera Galland*

Instituto de Química da UFRGS, Av. Bento Gonçalves, 91501-970, Porto Alegre/RS – griselda@if.ufrgs.br

Microstructure study of ethylene, propylene and 1-decene terpolymers by ^{13}C -NMR

Terpolymers of ethylene-propylene-1-decene with different composition of monomers were obtained using the metallocene catalyst $\text{rac-}(\text{EtInd}_2\text{ZrCl}_2)$. The complete ^{13}C -NMR characterization of these terpolymers was done qualitatively and quantitatively. Chemical shifts, carbon assignments and corresponding integrals for each triad sequence are presented..

Introdução

As poliolefinas representam uma parte importante no comércio mundial de plásticos, quase 60 milhões de toneladas são produzidas anualmente no mundo, o que significa aproximadamente 50 % da produção de plásticos. Estes materiais apresentam uma grande versatilidade de propriedades químicas, físicas, mecânicas e óticas,¹ o que justifica o interesse no seu estudo.

Os catalisadores metallocênicos, surgidos nos anos setenta permitem a obtenção de poliolefinas com altas atividades catalíticas e com estrutura definida devido à presença de um único sítio catalítico.²

A Ressonância Magnética Nuclear de carbono 13 (^{13}C -NMR) é a melhor técnica para o estudo da microestrutura das poliolefinas, isto é, das sequências de monômeros nos copolímeros e terpolímeros, assim como da tacticidade nas poli- α -olefinas. Os espectros de ^{13}C -NMR dos copolímeros E/P, E/B, E/H, E/O,³ tem sido amplamente estudados porém existem poucos trabalhos sobre terpolímeros.

O objetivo deste trabalho é a determinação qualitativa e quantitativa por ^{13}C -NMR da microestrutura de terpolímeros de etileno-propileno-1-deceno. Com este fim foram sintetizados terpolímeros com diferente composição de eteno, propeno e 1-deceno utilizando o catalisador metallocênico $\text{rac-}(\text{EtInd}_2\text{ZrCl}_2)$.

Experimental

Reações de Polimerização

As condições das terpolimerizações foram: co-catalisador: TMA/MAO ou só MAO, $[\text{Al}]/[\text{Zr}] = 1500$ (Al do MAO), $[\text{Zr}]=2\times 10^{-6}$ mol, pressão total= 1,6 atm, temperatura = 60 °C, tempo = 0,5 h.

Foram utilizadas diferentes razões de P/E e o 1-deceno foi mantido constante em 0,5 M. Para fins de estudo na reação MF15 não foi colocado 1-deceno.

Caracterização dos Polímeros

A espectroscopia de Ressonância Magnética Nuclear de Carbono 13 (^{13}C -NMR) foi realizada em um espetrômetro Varian Inova 300, operando a 75 MHz. O solvente utilizado para a preparação das amostras foi o o-diclorobenzeno e benzeno deuterado (20 % v/v). As amostras foram analisadas em tubo de 5mm a temperatura de 90 °C, um ângulo de pulso de 74 °, um tempo de aquisição de 1,5 s e um tempo de relaxação de 4 s. Nestas condições os espectros são 90 % quantitativos se somente carbonos com tempos de relaxação (T_1) menores de 2,0 s são utilizados nos cálculos quantitativos⁴.

Resultados e Discussão

Exemplos de espectros de ^{13}C -NMR dos terpolímeros obtidos com diferentes teores de monômeros são mostrados na Figura 1.

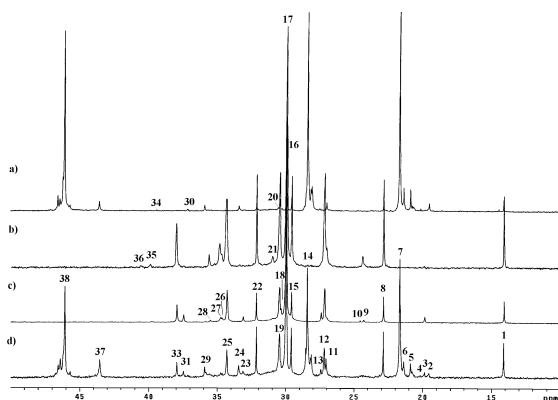


Figura 1 – Espectros de ^{13}C -NMR de terpolímeros:
a)MF13: [E]=1,2mol%, [P]=96,7mol%, [D]=2,2mol%;
b)MF02:[E]=93,3mol%,[P]=0mol%,[D]=6,7mol%;
c)MF08:[E]=79,3mol%, [P]=4,3mol%, [D]=16,4mol%;
d)MF10:[E]=30,9mol%,[P]=55,5mol%, D]=13,6mol%;

Os deslocamentos químicos teóricos foram obtidos utilizando as regras de Liderman and Adams.⁵ A partir destes e da diferente composição de cada terpolímero foram atribuídos os assinalamentos de cada pico o que é mostrado na Tabela 1.

Após a análise qualitativa procedeu-se a realizar a análise quantitativa atribuindo a cada tríade as integrais correspondentes tratando de evitar a utilização de integrais de picos de carbonos terminais que normalmente apresentam maiores tempos de relaxação que os da cadeia.

Tabela 1 – Deslocamentos químicos experimentais e teóricos e assinalamentos dos diferentes carbonos de terpolímeros etileno-propileno-1-deceno.

Nº Sinal	Deslocamento experimental	Deslocamento teórico	Tríades	Carbono*
1	14,13	13,86	EDE EDD+DDE DDD PDP PDD+DPP DDD	1B8
2	18,70-19,70 19,54	20,61	PPP(r) PPP(mrm)	1B1
3	19,87	19,63	EPE	1B1
4	20,18	20,12	EPP+PPE	1B1
5	19,7-21,0 20,90	20,61	PPP(mr+m) PPP(mmrr)	1B1
6	21,39	20,61	PPP(mmmr+mmmm)	1B1
7	21,71	20,61	PPP(mmrm) DPD PPD+DPP	1B1
8	22,88	22,65	DDP+PDD PDP DDD EDE EDD+DDE	2B8
9	24,33	25,08	DED	$\beta\beta$ B8
10	24,59	24,58	PEP	$\beta\beta$ B1
11	27,05	27,52	PDP PDD+DPP	7B8
12	27,18	27,52	EDE EDD+DDE DDD DEE+EED	7B8
13	27,43	27,27	EPP+PEE	β B1
14	28,13 28,44 28,55	28,38	PPP	brB1
			DPD DPP+PPD	brB1
15	29,61	29,71	EDE EDD+DDE DDD PDP PDD+DPP	4B8
16	29,91	29,96	PDP PDD+DPP	5B8
17	30,00	29,96	EEE DDD EDE EDD+DDE	δ 5B8
18	30,36	30,21	EPP	γ B1
19	30,48	30,21	EDE EDD+DDE DDD EED+DDE PDD+DPP PDP DDD	6B8 γ B8 6B8
20	30,57	30,45	EPP+PPE	brB1
21	30,72	30,46	DEED PEEP	$\gamma\gamma$ B8 $\gamma\gamma$ B1
22	32,15	32,4	EDE EDD+DDE DDD PDP PDD+DPP	3B8
23	33,13	32,52	EPE	brB1
24	33,44	32,91	DDD PDP PDD+DPP	BrB8 BrB8
25	34,30	34,47	EDE EDE DEE	8B8 α B8
26	34,66	34,98	EDD+DDE	BrB8
27	34,78	34,72	DED EDD EDD+DDE	α γ B8 α B8 8B8
28	35,54	34,97	DDEDD	α γ B8
29	35,93	34,00	PDP PDD+DPP DDD	8B8
30	37,14	37,41	PEPEPP PEPP(EP)	α γ B1 α γ B1
31	37,47	36,91	EPE PEE	α B1
32	37,8	37,16	EPEPE EPP	α γ B1 α B1
33	37,96	37,05	EDE	B1B8
34	39,36	39,48	PDD+DPP	α α B8
35	39,78	38,98	DDE+DDE	α α B8
36	41,00	39,48	DDD	α α B8
37	43,54	41,92	PDP PDD+DPP DPD DPP+PPD	α α B8 α α B1
38	45,6-46,5	43,86 44,11 44,36	EPPPE EPPPE PPPPP (E)PPD (P)PPD	α α B1 α α B1 α α B1 α α B1 α α B1

*A nomenclatura utilizada neste trabalho para os diferentes carbonos é a da referência 6.
A relação entre as tríades e as integrais utilizadas é mostrada na Tabela 2.

Tabela 2 – Relação entre as seqüências de tríades e as integrais do espectro de ^{13}C -NMR de terpolímeros etileno-propileno-1-deceno.

Tríades	Integral
[DED]	I_0
[DEE+EED]	$2(I_{35}+2I_{33})$
[PEP]	I_{10}
[PEE+EEP]	I_{13}
[EEE]	$(I_{16}+I_{17}+I_{22})/2$
[EPE]	I_{23}
[EPP+PPE]	I_{30}
[PPP]	$I_{14}+I_{17}+I_{29}+I_{36}$
[EDE]	I_{33}
[EDD+DDE]	$(I_{26}+I_{27}+I_0)/2/3$
[DDD]	I_{36}
[DDP+PDD]	I_{34}
[PDP]	$I_{29}+I_{34}+I_{36}$
[DPD]+[DPP+PPD]	$I_{37}+I_{29}+I_{36}$

Conclusões

A Tabela 3 mostra o resultado da análise quantitativa das tríades e da composição total de cada monômero nas terpolimerizações estudadas utilizando as equações desenvolvidas.

Tabela 3 – Percentuais de tríades e composição de monômeros nos terpolímeros etileno-propileno-1-deceno sintetizados.

A estrutura de terpolímeros de etileno-propileno-1-deceno foi detalhadamente estudada por ^{13}C -NMR. Foram assinalados todos os picos encontrados em todos os espectros e foi desenvolvido um método quantitativo com o fim de calcular a composição de monômeros e os teores das diferentes tríades.

Agradecimentos

Os autores agradecem à CAPES, CNPq e FAPERGS pelo auxílio financeiro e à COPESUL, OPP e a IPIRANGA pelo fornecimento de gases, solventes e reagentes.

Referências Bibliográficas

- W. Kaminsky. J. Chem. Soc., Dalton Trans., 1998, 1413.
- R. Maier. Plástico, 2000, Ano II, Nº 17, 28.
- J.C. Randall. Rev. Macromol. Chem. Phys., 1989, C29 (2&3), 201.
- D. Traficante, L.R. Steward. Concepts in Magnetic Resonance, 1994, 6, 131.
- L.P. Lindeman, J.Q. Adams. Anal. Chem., 1971, 43, 1245.
- T.Usami, S. Takayama. Macromolecules, 1984, 17, 1756

Tríades	MF01	MF02	MF05	MF08	MF09	MF10	MF11	MF12	MF13	MF15
[EEE]	53,3%	32,3%	22,6%	63,8%	67,5%	25,8%	49,2%	13,1%	0,9%	0,0%
[PEE+EEP]	7,0%	0,0%	3,5%	5,8%	4,7%	1,8%	17,3%	2,9%	0,3%	0,0%
[PEP]	2,1%	0,3%	0,0%	0,8%	0,9%	0,0%	3,7%	1,1%	0,0%	0,0%
[DEE+EED]	7,9%	57,0%	3,5%	7,4%	7,6%	3,3%	0,3%	0,0%	0,0%	0,0%
[DED]	3,5%	3,7%	0,0%	1,5%	1,4%	0,0%	2,1%	0,0%	0,0%	0,0%
[EPP+PPE]	0,0%	0,0%	0,0%	0,0%	0,0%	0,0%	4,8%	2,2%	0,9%	0,1%
[EPE]	6,6%	0,0%	0,0%	4,3%	3,7%	4,2%	14,9%	2,2%	0,0%	0,0%
[DPP+ PPD DPD]	0,0%	0,0%	11,0%	0,0%	0,0%	1,5%	0,4%	2,4%	2,2%	0,0%
[PPP]	0,0%	0,0%	43,9%	0,0%	0,0%	49,8%	3,6%	73,6%	93,5%	99,9%
[EDD+DDE]	7,3%	6,7%	0,0%	4,3%	3,5%	2,3%	0,0%	0,0%	0,0%	0,0%
[EDE]	12,4%	0,0%	0,4%	12,1%	10,7%	4,3%	3,7%	0,6%	0,0%	0,0%
[PDP]	0,0%	0,0%	11,5%	0,0%	0,0%	6,9%	0,0%	2,0%	2,2%	0,0%
[PDD+DDP]	0,0%	0,0%	0,0%	0,0%	0,0%	0,0%	0,0%	0,0%	0,0%	0,0%
[DDD]	0,0%	0,0%	3,5%	0,0%	0,0%	0,0%	0,0%	0,0%	0,0%	0,0%
[E]	73,8%	93,3%	29,7%	79,3%	82,1%	30,9%	72,6%	17,1%	1,2%	0,0%
[P]	6,6%	0,0%	54,9%	4,3%	3,7%	55,5%	23,8%	80,4%	96,7%	100,0%
[D]	19,7%	6,7%	15,4%	16,4%	14,2%	13,6%	3,7%	2,5%	2,2%	0,0%

Todos os percentuais são em mol %.

MF01, MF02, etc. são os códigos das amostras.